

超子与超子束

王少阶

一、超子与超子束

1. 超子的发现：

从本世纪 30 年代初到 1947 年，科学家所发现的基本粒子已从质子、中子、电子和光子等四种增加到十四种。然而，认识真理的长河并未到此结束，从 1947 年起，基本粒子物理学又迎来了一个新的丰收季节。首先，罗彻斯特和巴特勒在宇宙线研究中发现了两个衰变经迹成“V”字形的未知粒子，从而开创了用原子核乳胶来研究宇宙射线的新时期。对大量乳胶照片的分析表明，上述两个未知粒子均不带电；其中一个的质量约 $500 \text{ MeV}/c^2$ （现称 κ^0 介子），另一个质量约 $1100 \text{ MeV}/c^2$ （现称 A^0 粒子）。随后，在 50 年代初期，一些大型加速器先后投入使用，科学家们开始用加速器作高能粒子源进行研究，从而发现了一大批新的粒子，这些粒子大致分为两组：一组是 κ 介子（包括 κ^+ 、 κ^- 和 κ^0 ），质量约 $500 \text{ MeV}/c^2$ ；另一组粒子的质量比核子（质子和中子）更重，故叫做“超子”费米子，如 A^0 （兰姆达）超子、 Σ （西格马）超子和 Ξ （克西）超子等。此外，1964 年还发现了 Ω^- （欧米伽）超子。

2. 超子的特性：

超子除了质量大于核子外，它们都是奇异粒子。所谓奇异是指下述事实：它们的产生是通过强相互作用进行的，时间仅为 10^{-23} 秒；而其衰变又是通过弱相互作用进行的，时间约为 10^{-10} 秒，可见两者之间相差亿万倍！此外，这些基本粒子总是“成对”产生（亦称“协同”产生），而其衰变又可单个进行。这两个现象最初都使人迷惑不解，故把这些基本粒子叫做奇异粒子。研究发现，奇异粒子应遵守某种新的守恒定律。为此，盖尔曼于 1953 年首先引入奇异量子数 S ，并认为在强相互作用和电磁相互作用过程中奇异数守恒，而在弱相互作用过程中，奇异数不守恒。这样，

超子的衰变主要为非轻子衰变（除 Ξ^0 外），即衰变产物为强子（重子和介子）。如 A^0 和 Σ^\pm 衰变为 π 介子和核子， Ξ 衰变为 π 介子和 A^0 ， Ω^- 则衰变为 κ 介子和 A^0 ，或 π 介子与 Ξ 。此外，超子还有半轻子衰变，即衰变产物为强子加轻子，因产物中有轻子，故可用于弱相互作用的研究。仅 Σ^0 衰变为 A^0 和 γ ，这是电磁相互作用。

上述疑难均得到满意的解释。以 A^0 和 κ^0 的产生和衰变为例，这一过程示于图 1 中（图中虚线表示中性的 A^0 和 κ^0 没有可见经迹）。用高能 π^- 束轰击质子靶，在 A 点发生下述强作用引起的反应：



$$\text{奇异数 } S: 0 \quad 0 \quad -1 \quad +1$$

在反应式下面，标出了始态粒子和终态粒子的奇异数。显然 $S_{\text{始}} = 0 + 0 = 0$ ， $S_{\text{终}} = -1 + 1 = 0$ ，此即反应前后奇异数守恒。由此可见，初态没有奇异粒子参加的强反应中，终态不会产生单个奇异粒子。

图 1 中 B、C 两点分别示出了 A^0 和 κ^0 的衰变，对 A^0 有： $A^0 \longrightarrow \pi^- + p$

$$S: -1 \quad 0 \quad 0$$

可见衰变前后奇异数不守恒，这只能是弱相互作用过程，从而进行得很慢。

表 1 列出了超子的种类及其主要物理特性。应指出，所有超子都有其相应的反粒子。

表 1 超子特性

粒子	电荷 (e)	奇异数 S	自旋 J	质量 (MeV/c^2)	寿命(秒)
A^0	0	-1	1/2	1115.60 ± 0.05	$(2.632 \pm 0.020) \times 10^{-10}$
Σ^+	+1	-1	1/2	1189.37 ± 0.06	$(0.802 \pm 0.005) \times 10^{-10}$
Σ^0	0	-1	1/2	1192.47 ± 0.08	$(0.58 \pm 0.13) \times 10^{-10}$
Σ^-	-1	-1	1/2	1197.35 ± 0.06	$(1.483 \pm 0.015) \times 10^{-10}$
Ξ^0	0	-2	1/2	1314.9 ± 0.6	$(2.90 \pm 0.10) \times 10^{-10}$
Ξ^-	-1	-2	1/2	1321.32 ± 0.13	$(1.654 \pm 0.021) \times 10^{-10}$
Ω^-	-1	-3	3/2	1672.2 ± 0.4	$(0.82 \pm 0.06) \times 10^{-10}$

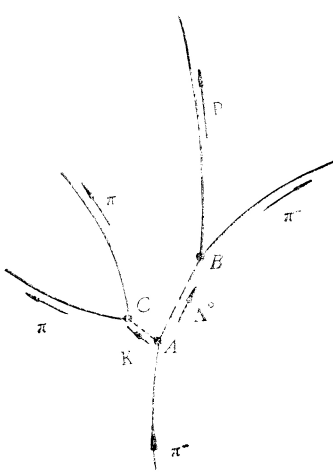


图 1

超子的衰变主要为非轻子衰变（除 Ξ^0 外），即衰变产物为强子（重子和介子）。如 A^0 和 Σ^\pm 衰变为 π 介子和核子， Ξ 衰变为 π 介子和 A^0 ， Ω^- 则衰变为 κ 介子和 A^0 ，或 π 介子与 Ξ 。此外，超子还有半轻子衰变，即衰变产物为强子加轻子，因产物中有轻子，故可用于弱相互作用的研究。仅 Σ^0 衰变为 A^0 和 γ ，这是电磁相互作用。

3. 超子束：

超子束是粒子的二次束流，通常用加速器的原始质子束打在金属或难熔的靶上来产生，然后将该束流准直到一合适的小立体角内。超子束除含有用的超子通量外，还有较大的本底，相应于中性及带电的两类超子，也有中性超子束及带电超子束。若束流带负电， π^- 是最大的本底；若束流带正电，质子是最大的本底；中性束流中，中子和 γ 大大超过有用超子的通量。带

电超子束用磁铁来偏转和聚焦，这与其它带电束流的输送类似。对中性束，则需加特制的准直器来限制中性束并清除带电粒子。束流布局应尽可能紧凑，以减少超子衰变损失，还应尽量减少束流外产生的次级强子的影响，使其远离束流入口端。

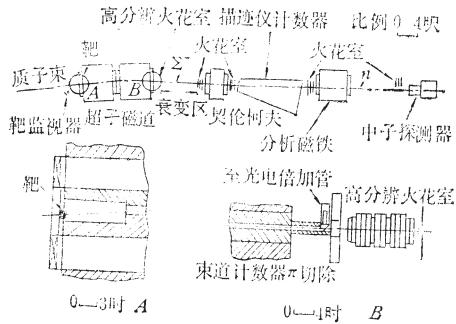


图 2 BNL 带电超子束布局

最先引出超子束的是西欧核子中心(CERN)的 PS 和美国布鲁克海之国立实验室(BNL)的 AGS，均为负超子束，其原始质子束的能量约 30GeV，近年在费米实验室及 CERN 相继建成高能超子束，其原始质子束能量在 200GeV 以上。与前者相比，高能超子束有更大的超子通量，还能得到反超子。可供研究的对象更多。

图 2 示出了布局略图，每个脉冲约 10^{11} 个高能质子 ($\sim 29\text{GeV}$) 打在大小为 $0.66 \times 0.66 \times 25.4\text{ cm}^3$ 的铍靶上，靶的位置见放大图 A。靶后是一长 439.9 厘米的弯形磁道，对放在磁道出口端的探测器(见放大图 B)而言，该长度足以屏蔽在靶上产生的其它强子本底。对所需的 Σ^- 和 Ξ^- 超子而言，衰变损失甚为有限。在与靶成 146° 的方向上，放置闪烁计数望远镜，作为靶监视器。磁道为两半，内壁镀铝并成锥形。若在其内充以大气压强下的氟里昂气体，则它可用作阈切仑柯夫计数器，切仑柯夫光从位于磁道出口端的一个薄膜镜上反射至光电倍增管。此计数器不仅能标记轻粒子为 π^- 、 κ^- 等(它们是最严重的本底)，还能抑制它们，其效率达 99.9% 以上。

探测超子是利用它们的衰变，在放大图 B 上可见，磁道出口端有一高分辨本领的大花室，用来探测超子的位置和方向，由它测得的超子动量精度为 $\pm 1\%$ ，方位准确度达 ± 0.5 毫弧度。这一测量能再现超子的轨迹，并外推到产生靶，以此作为超子产生的证据。

二、超子束物理学

1. 研究超子产生截面：

在两个带电超子束首次运转以后，最先开展的工作就是测量 Σ^- 和 Ξ^- 的产生截面。例如在 BNL，利用图 2 所示实验安排探测 $\Sigma^- \rightarrow n\pi^-$ 和 $\Xi^- \rightarrow A^0\pi^-$ 衰变，从而得到了 Σ^-/π^- 和 Ξ^-/π^- 的计数比，并对探测损失及超子在磁道中的衰变进行修正，从而外推到超子产

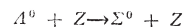
生靶，再利用早先实验已得到的 π^- 产生截面，从而得到 Σ^- 和 Ξ^- 的产生截面。

2. 研究超子的相互作用截面：

由于超子束能提供较高的超子通量，故能方便地对各种相互作用截面进行实际测量，其精度比早先在气泡室实验中得到的结果大为改善。在 BNL 和 CERN 两个带电超子束上都用氢研究了 $\Sigma^- p$ 相互作用。在 CERN 还用氘进行了测量，得到了 $\Sigma^- p$ 、 $\Sigma^- d$ 的总截面及 $\Sigma^- p$ 的弹性散射截面。在 BNL，用液氢靶研究了 $\Sigma^- p$ 和 $\Xi^- p$ 弹性散射，用塑料闪烁体靶研究了 Σ^- 和 Ξ^- 的相互作用。此外，在中性超子束上还测量了 $A^0 p$ 、 $\bar{A}^0 p$ 及 $\bar{A}^0 d$ 等的总截面。这些测量得到了有意义的结果，与用层子模型所作的理论计算基本符合。

3. Σ^0 超子的寿命测量：

Σ^0 超子的寿命极短，也难于测准，故以前的实验只能给出其寿命 $\tau_{\Sigma^0} < 10^{-14}$ 秒。1977 年在 CERN 中性超子束的一次著名实验中测量了 Σ^0 超子的寿命。根据格拉肖等 1961 年由 $SU(3)$ 进行的预言， Σ^0 的寿命应为： $\tau_{\Sigma^0} = 0.7 \times 10^{-19}$ 秒。相应于每 GeV/c 的动量其飞行距离为 2\AA ，或由测不准关系知其质量宽度 $\Delta m = 9.4\text{keV}$ 。无论是飞行距离还是质量宽度都不能用现有技术测准。然而，可研究下述反应：



间接测定 Σ^0 的衰变率。式中 Z 为核电荷为 Ze 的库仑场，它为过程： $A^0 + \gamma \rightarrow \Sigma^0$ (Σ^0 衰变的逆过程) 提供 γ 。这一机制在理论上已作过深入研究。

实验中是将一个薄的高 Z 靶(如铀或镍)插入中性超子束中，并寻找 $A^0\gamma$ 的出口，这是通过探测衰变 $A^0 \rightarrow p\pi^-$ 和探测 γ 射线而实现的。用多丝正比室测量 $A^0 \rightarrow p\pi^-$ ， γ 射线的能量和位置用由 84 块铅玻璃砖组成的阵列记录。将所得结果进行作图分析后得到 Σ^0 的寿命为： $\tau_{\Sigma^0} = (0.58 \pm 0.13) \times 10^{-19}$ 秒，可见与理论预言符合很好。

4. 磁矩的测量：

1976 年在费米实验室高能中性超子束上观察到超子的极化效应，即 A^0 粒子的产生角可在垂直面内变化。当 A^0 通过准直器时，会以正比于其磁矩的速率进动，这与陀螺绕其轴旋转的情形类似。这一特性可用来精确测量 A^0 的磁矩，此项工作已于 1978 年进行。对速度接近光速的高能超子，其进动角为： $\phi(\text{度}) = 18.3$

$\mu_{A^0} \int B dl$ ，式中 μ_{A^0} 是 A^0 超子的磁矩，以核子磁矩 $\mu_N = e\hbar/2m_p c$ 为单位， B 为磁场强度，单位为千高斯，积分对磁场进行，长度单位为米。角度 ϕ 可由 A^0 粒子动量的横向分量与纵向分量之比求得，将 ϕ 对积分 $\int B dl$ 之值作图，所得直线的斜率即磁矩。

5. 研究弱相互作用：

超子的半轻子衰变具有特殊的意义，因为弱相互作用的理论已很成熟，可对实验数据作精确解释。然而这一研究困难很多，首先是这种衰变的分枝比小；其次是衰变过程中总包含一个中微子和一个中性重子。如果母体是 Λ^0 或子体是中子，通常只能测量重子的方向，此外还有本底可能引起错误鉴别的问题。研究工作之一是测量弱相互作用理论中的某些参数，并得到了一些重要的结果。其次是研究稀有型衰变的分枝比。例如在中性超子束上测量了 $\Xi^0 \rightarrow p\pi^-$ 与 $\Xi^0 \rightarrow \Lambda^0\pi^0$ 的分枝比为： $\Gamma(\Xi^0 \rightarrow p\pi^-)/\Gamma(\Xi^0 \rightarrow \Lambda^0\pi^0) = 3.6 \times 10^{-4}$ 。

综上所述，超子束物理学在研究超子的产生截面及其与物质的相互作用，精确测定超子静特性（如质量、寿命、磁矩等）和研究弱相互作用等方面都有其独到之处。理论和实践的结合十分密切，还有许多新课题有待人们去探索。